

кадмия увеличивается эффективность взаимодействия ПАВ с электронами. При дальнейшем увеличении концентрации электронов проводимости амплитуда второй гармоники уменьшается как вследствие сильного затухания волны основной частоты, так и вследствие экранирования пьезоэлектрических полей кристалла возникшим объемным зарядом. Первый фактор играет большую роль, поскольку амплитуда основной волны и волны второй гармоники ПАВ уменьшаются практически до нуля. Однако упругая нелинейность тоже приводит к генерации волны второй гармоники, что проявляется при еще больших проводимостях кристалла. В этом случае большую роль играет объемный заряд, который практически полностью экранирует пьезоэлектрическое поле кристалла, и пьезополупроводник можно рассматривать как полупроводник без пьезоэффекта. На рис. 1 приведены также зависимости напряжения продольного и поперечного акустоэлектрического эффекта в зависимости от проводимости.

Известно, что при малых проводимостях электронное затухание мало и пропорционально проводимости, поэтому акустоэлектрический ток также пропорционален проводимости, т. е. существует линейная область возрастания акустоэлектрического напряжения от проводимости. Создавая с помощью неравномерной подсветки локальные неоднородности проводимости, можно с помощью короткого импульса ПАВ наблюдать, как эти неоднородности проводимости проявляются в сигнале акустоэлектрического напряжения. Этот эффект может использоваться для сканирования однородных оптических образов [7].

При подаче двух радиоимпульсов одинаковой частоты на преобразователи, расположенные с разных сторон кристалла полупроводника, наблюдалось встречное взаимодействие ПАВ. Импульс удвоенной частоты снимался с электродов, нанесенных на боковые поверхности полупроводникового кристалла, представлял собой акустическую свертку двух сигналов. На рис. 2 изображена зависимость сигнала свертки для различного типа съема — продольного и поперечного — от проводимости сернистого кадмия. Максимумы сигнала свертки для различного типа съема находятся при различных проводимостях.

Совпадение полученных результатов с имеющимися теоретическими и экспериментальными данными из литературных источников показывает, что данная методика исследования акустоэлектронных эффектов в полупроводниках является удобной для оценки их эффективности и исследования анизотропии. Она также может найти применение для определения ряда характеристик пьезополупроводниковых и полупроводниковых монокристаллов с помощью ПАВ.

ЛИТЕРАТУРА

1. Kino G. S., Ludvik S. et al. «IEEE Trans. Sonics and Ultrasonics», 1973, SU-20, 162.
2. Кайно Г., Шоу Дж. «Успехи физических наук», 1974, 113, 157.
3. Коршак Б. А., Лямов В. Е., Солодов И. Ю. «Письма в ЖЭТФ», 1976, 23, 438.
4. Гончаров К. В., Крышневая Г. В., Маматова Т. А., Сулейманов С. Х. «Акустический журнал», 1975, 21, 527.
5. Кмита А. М., Медведь А. В., Мушкаренко Ю. Н., Федоренко В. Н. «Акустический журнал», 1976, 22, 299.
6. Гуляев Ю. В., Кмита А. М., Медведь А. В., Федоренко В. Н. «Письма в ЖЭТФ», 1974, 20, 700.
7. Takada S., Hayakawa H., Mikoshiba N. «Appl. Phys. Lett.», 1973, 23, 415.

Поступила в редакцию
20.6 1976 г.
Кафедра
акустики

УДК 534—12

М. И. Аржанов
Ф. В. Рожин
О. С. Тонаканов

РАДИАЛЬНАЯ И АЗИМУТАЛЬНАЯ СТРУКТУРА
БЛИЖНЕГО ЗВУКОВОГО ПОЛЯ
ПРИ РАССЕЯНИИ ПЛОСКОЙ ВОЛНЫ
НА КРУГЛОМ ЦИЛИНДРЕ

В работе [1] рассматривалась задача о ближнем поле звукового давления и колебательной скорости при рассеивании плоской звуковой волны на бесконечном круговом цилиндре радиуса r_0 с акустически мягкой и жесткой границами. В этой работе приведено аналитическое решение для компонентов скорости и проведен расчет структуры поля для точки, удаленной на расстояние $r = 1,2 r_0$ от оси цилиндра. Полученные в [1] диаграммы характеризуют зависимость амплитуды суммарного поля падающей и рассеянной волны в функции угла падения волны θ (при $\varphi = 0$) и в функции азимутального угла φ (при $\theta = 0$). Вследствие недостаточного применения вычислитель-

ной техники полная структура поля не была выявлена; в частности, не была рассчитана структура поля при различных удалениях r от оси цилиндра. Использование ЭВМ позволило завершить теоретическое исследование амплитудной структуры ближнего поля.

Решение задачи дифракции плоской звуковой волны на бесконечном круглом цилиндре для каждой из величин давления и компонентов колебательной скорости дается суммой бесконечного комплексного ряда

$$\sum_{n=0}^{\infty} Z_n = \sum_{n=0}^{\infty} X_n + j \sum_{n=0}^{\infty} Y_n.$$

Для практических расчетов важно установить критерий, при выполнении которого можно закончить вычисление членов ряда. Самым надежным критерием является

нахождение остатков рядов $\sum_{n=N}^{\infty} X_n$ и $\sum_{n=M}^{\infty} Y_n$ и сравнение их с малой величиной ε .

Очевидно, вычисление ряда должно быть прекращено при значении $n = \max\{N, M\}$, обеспечивающем выполнение условий

$$\left| \sum_{n=N}^{\infty} X_n \right| < \varepsilon, \quad \left| \sum_{n=M}^{\infty} Y_n \right| < \varepsilon.$$

Сходимость рядов $\sum_{n=0}^{\infty} X_n$ и $\sum_{n=0}^{\infty} Y_n$ одинакова, поэтому достаточно оценить остаток

одного из них. Как показывает анализ, решение для компонента скорости V_φ сходится хуже остальных (P, V_z, V_θ), поэтому проведем оценку ряда R_N , определяющего действительную часть V_φ в случае нормального падения ($\theta=0$):

$$R_N = \sum_{n=N}^{\infty} n \sin(n\varphi) \sin\left(n \frac{\pi}{2} - \gamma_n\right) [I_n(Kr) \cos \gamma_n - N_n(Kr) \sin \gamma_n],$$

где $\gamma_n = \arctg \frac{I_n(Kr_0)}{N_n(Kr_0)}$ для акустически мягкого цилиндра.

Рассмотрение поведения отдельных членов ряда R_N при фиксированном Kr и возрастании номера n приводит при $N > Kr/2 (e^2 + 1/e^2)$ к оценке остатка

$$R_N < \varepsilon \approx \frac{\frac{N+1}{2} e}{1 - e^{-1}}.$$

При вычислении остатка для $I_n(Kr)$ использовалось разложение, приведенное в [2], которое дает в первом приближении:

$$I_n(Kr) \approx \frac{1}{\sqrt{2\pi(n^2 - (Kr)^2)}} e^{-n \left[\ln \frac{n \sqrt{n^2 - (Kr)^2}}{Kr} - \sqrt{1 - \frac{(Kr)^2}{n^2}} \right]}.$$

Следовательно, при вычислении членов комплексных рядов до номера $N_{\min}[N]$ обеспечивается погрешность величины компонента V_φ , не превышающая $\varepsilon \sqrt{2}$. Очевидно, при ограничении числа членов ряда N_{\min} остальные компоненты поля будут вычисляться с погрешностью, не превышающей $\varepsilon \sqrt{2}$. Отметим, что в случае акустически жесткого цилиндра получается та же самая оценка.

Расчет на БЭСМ-4 ближнего поля проводился для значений параметра Kr_0 : $0,25 \leq Kr_0 \leq 8$. Распределение амплитуд давления и компонентов скорости в зависимости от удаления r ($r_0 < r \leq r_0 + 8\lambda$) от оси акустически мягкого цилиндра приведено на рис. 1 ($Kr_0=1$) и на рис. 2 ($Kr_0=8$) для трех значений азимутального угла φ (сплошная линия $\varphi=5^\circ$, штриховая — $\varphi=85^\circ$ и штрихпунктирная — $\varphi=165^\circ$) при нормальном падении волны ($\theta=0$). Из расчетов следует, что зона, где рассеянная волна пренебрежимо мала по сравнению с падающей, за цилиндром лежит на расстоянии меньшем, чем $r_0 + 8\lambda$, даже при $Kr_0=8$, а перед цилиндром на расстоянии большем, чем $r_0 + 8$, даже при $Kr_0=0,25$.

Зависимости амплитуд давления и компонентов скорости от азимутального угла φ (при $\theta=0$) в области $r_0 < r < r_0 + \lambda/4$ аналогичны полученным в [1]. При большем уда-

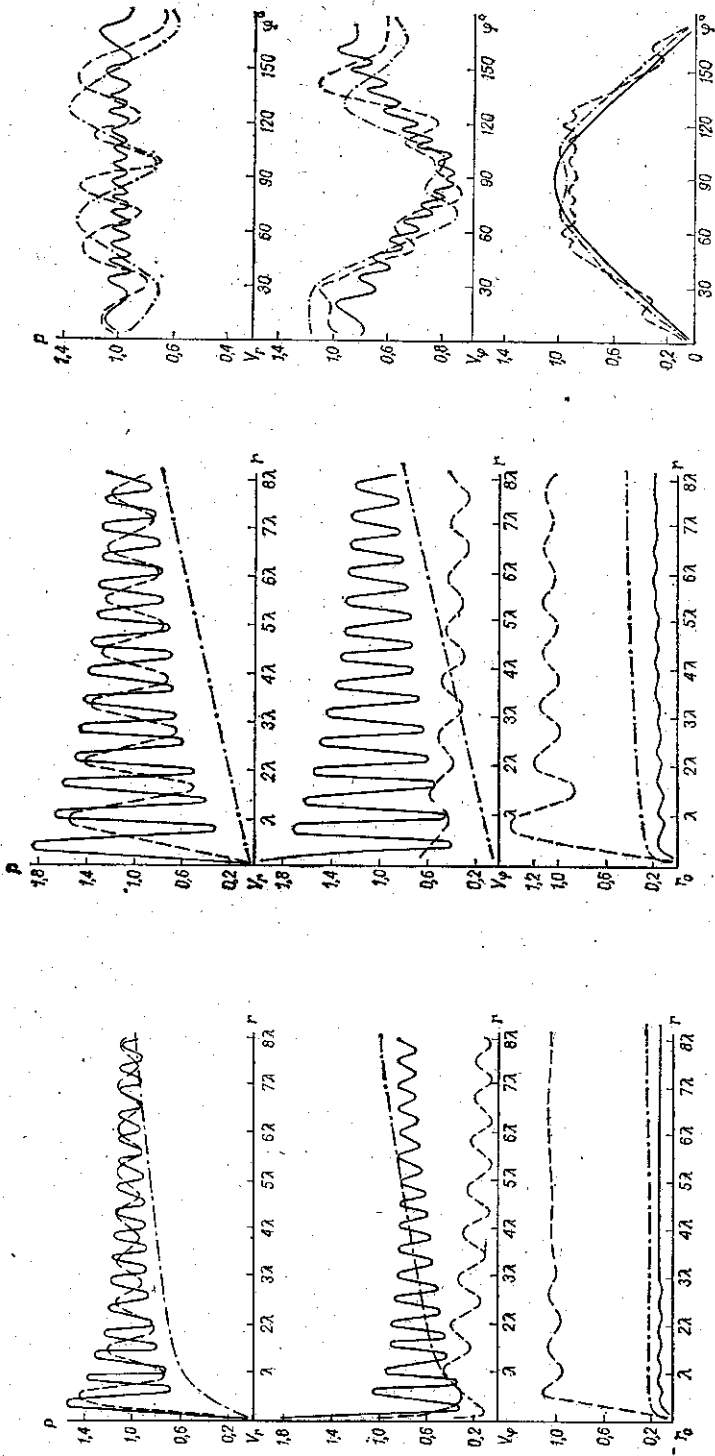


Рис. 1

Рис. 2

Рис. 3

лении они приведены на рис. 3 для различных удалений точки наблюдения от оси цилиндра и $Kr_0=1$ (сплошная линия при $r=r_0+8\lambda$, штриховая при $r=r_0+2\lambda$ и штрихпунктирная при $r=r_0+\lambda$).

ЛИТЕРАТУРА

1. Картавенко А. И., Киршов В. А., Тонаканов О. С. «Вестн. Моск. ун-та. Физ., астрон.», 1971, 12, № 4, 376—382.
2. Шендеров Е. Л. Волновые задачи гидроакустики. М., 1972.

Поступила в редакцию
6.9 1976 г.
Кафедра
акустики

УДК 621.317.733.77

В. П. Комолов
В. А. Рознятовский

ОБ УДАРНОМ ПАРАМЕТРИЧЕСКОМ
ВОЗБУЖДЕНИИ В КОНТУРЕ
С НЕЛИНЕЙНОЙ ЕМКОСТЬЮ

Параметрические системы (ПС) с медленно и быстро меняющимися параметрами хорошо исследованы и широко применяются в качестве ЧМ-фильтров, делителей и умножителей частоты. Практический интерес представляет также исследование ПС со скачкообразно меняющимися параметрами. В избирательной ПС при определенных начальных условиях скачкообразное изменение энергоемкого параметра приводит к ударному параметрическому возбуждению затухающих колебаний, несущих информацию о начальных условиях. Это обстоятельство может оказывать существенное влияние на чувствительность коммутируемых ПС-типа параметронов и параметрических квантователей фазы, применяющихся для регистрации слабых сигналов, и может быть использовано для создания быстродействующих параметрических квантователей фазы¹.

На рис. 1, а показана схема LC-контура ПКФ. Емкость C , равная общей емкости четырех одинаковых варикапов типа МДП, соединенных по балансной мостовой схеме, может быть близка по своим свойствам к идеальной управляемой емкости, которая не зависит от напряжения на контуре, но может управляться напряжением смещения на варикапах (напряжением накачки) $U_H(t)$, создаваемым отдельным генератором. Зависимость C от U_H показана на рис. 1, б. Очевидно, что при видеоимпульсном напряжении $U_H(t)$, меняющемся от значения $U_H > U_{Hmax}$ до значения

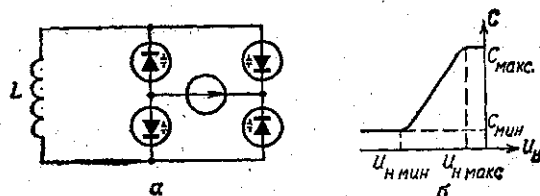
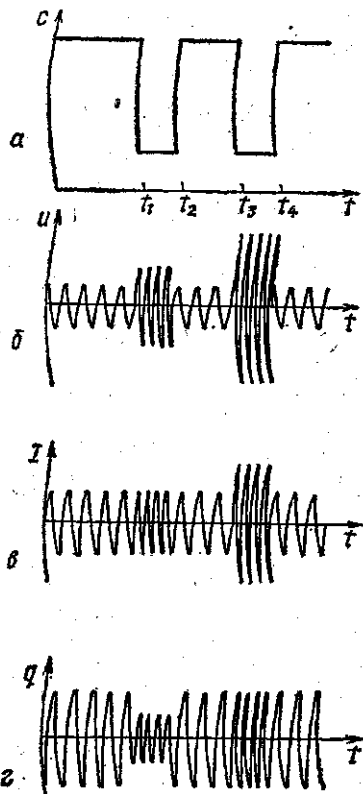


Рис. 1

Рис. 2

$U_H < U_{Hmin}$, емкость C скачкообразно меняется от C_{max} до C_{min} . На рис. 2, а показано изменение идеальной емкости $C(t)$, управляемой видеоимпульсным напряжением накачки. На рис. 2, б, в, г показаны осциллограммы колебаний напряжения на емкости $U(t)$, тока в контуре $I(t)$, заряда конденсатора $q(t)$ для аналоговой модели автономного контура без потерь, описываемого уравнением

¹ См. В. П. Комолов, И. Т. Трофименко. Квантование фазы при обнаружении радиосигналов. М., 1976.